

# Aula 27 – Algoritmo de Ford-Fulkerson

## Notas de Aula de Teoria dos Grafos

Prof<sup>ª</sup>: Patrícia D. L. Machado

UFCG – Unidade Acadêmica de Sistemas e Computação

## Sumário

Definições Preliminares .....	1
Tipos de Arco .....	1
Incremento Mínimo .....	2
Algoritmo .....	4
Exercícios Propostos .....	7
Referências.....	8

Nesta aula, apresentamos o algoritmo de Ford-Fulkerson que determina um fluxo máximo e um corte mínimo em uma rede de fluxos.

## Definições Preliminares

A seguir, apresentamos alguns conceitos e terminologia utilizados no algoritmo de Ford-Fulkerson.

### Tipos de Arco

Seja  $N(x, y)$  uma rede de fluxo e seja  $f$  um fluxo nesta rede. Um arco  $a$  em  $N(x, y)$  é:

- ***f-zero*** se  $f(a) = 0$
- ***f-positivo*** se  $f(a) > 0$
- ***f-não-saturado*** se  $f(a) < c(a)$
- ***f-saturado*** se  $f(a) = c(a)$

Como exemplo, considere a rede de fluxo na Figura 1, onde o par de valores em cada arco apresenta um valor de fluxo e a capacidade do arco, respectivamente. Os arcos são classificados em cada uma das definições acima da seguinte forma:

- ***f-zero***:  $(v3, v5)$ ,  $(v3, y)$
- ***f-positivo***: todos, exceto os *f-zero*
- ***f-não-saturado***:  $(x, v1)$ ,  $(v1, v4)$ ,  $(v2, v1)$ ,  $(v2, v5)$ ,  $(v3, v5)$ ,  $(v3, y)$

- **f-saturado:**  $(x, v3), (v1, v3), (v3, v2), (v4, v5), (v5, y)$

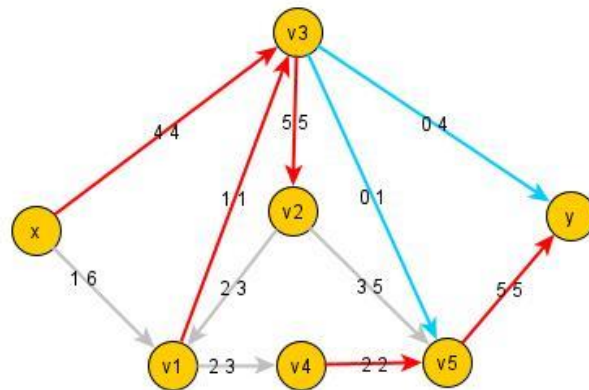


Figura 1

Seja  $W := (v_0 a_1 v_1, \dots, v_{k-1} a_k v_k)$  um passeio, não necessariamente dirigido, em um dígrafo.

Um arco  $a_i$  é **avante** (*forward*) se  $v_{i-1}$  é a cauda de  $a_i$  e  $v_i$  é sua cabeça.

Um arco  $a_i$  é **reverso** (*reverse*) se  $v_i$  é a cauda de  $a_i$  e  $v_{i-1}$  é sua cabeça.

Por exemplo, ignorando as direções dos arcos, considere o caminho  $T$  de  $x$  para  $y$  que está hachurado em laranja na Figura 2. Neste caminho, podemos observar que o arco  $(x, v1)$  é avante, pois aponta na direção de  $x$  para  $y$ . Por outro lado, o arco  $(v2, v1)$  é reverso, pois, neste caminho  $T$ , o arco tem direção para  $x$  e não para  $y$ .

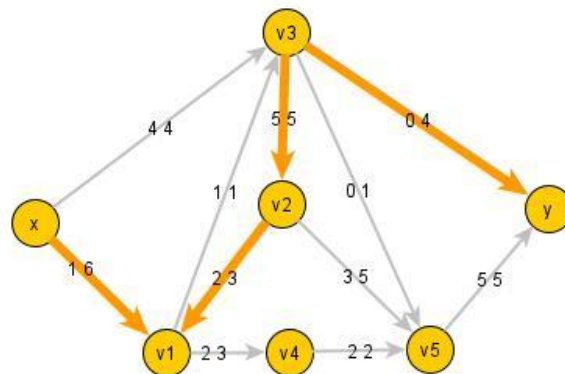


Figura 2

Como vimos na aula anterior, a fim de obter o fluxo máximo em uma rede, é necessário incrementar ou decrementar o valor do fluxo dos arcos. No algoritmo que estamos estudando nesta aula, a estratégia central é *incrementar arcos avante e decrementar arcos reverso*.

## Incremento Mínimo

Considerando o grafo base de uma rede de fluxo  $N(x, y)$  onde as direções dos arcos são ignoradas, seja  $T$  um caminho entre os vértices  $x$  e  $y$ .

A quantidade mínima de incremento ao valor do fluxo dos arcos de  $T$ ,  $\varepsilon(T)$ , pode ser definida como o menor valor entre os valores máximos de incremento ou decremento para todos os arcos.

$\varepsilon(T) = \min\{\varepsilon(a) : a \in A(T)\}$ , onde:

$$\varepsilon(a) = \begin{cases} c(a) - f(a) & \text{se } a \text{ é avante} \\ f(a) & \text{se } a \text{ é reverso} \end{cases}$$

Ou seja, primeiro determinamos o valor máximo de incremento (se arco é avante) ou decremento (se arco é reverso) para cada arco, depois escolhemos o menor destes valores a fim de poder aplicar o mesmo valor (como incremento, se avante; como decremento, se reverso) a todos os arcos sem ultrapassar a capacidade definida para cada um.

O valor máximo de incremento de um arco  $a$  é definido como a diferença entre o valor da capacidade e o valor atual de fluxo de  $a$  quando o arco é avante, ou seja, considerando o caminho  $T$ , o arco é direcionado no sentido de  $x$  para  $y$ ; neste caso, o algoritmo deverá incrementar o valor de fluxo. Caso contrário, quando o arco é reverso, ou seja, considerando o caminho  $T$ , o arco é direcionado no sentido de  $y$  para  $x$  o valor de incremento é o valor do próprio fluxo.

Para os arcos no caminho  $T$  apresentado na Figura 2 podemos encontrar os seguintes valores de para  $\varepsilon$ :

$$\varepsilon((x, v1)) = 5, \varepsilon((v2, v1)) = 2, \varepsilon((v3, v1)) = 5, \varepsilon((v3, y)) = 4$$

Neste caso,  $\varepsilon(T) = 2$ , o menor dentre os valores. Se aplicarmos este valor para incremento/decremento do valor de fluxo na Figura 2, obtermos o novo fluxo apresentado na Figura 3. Note que o fluxo obtido é válido.

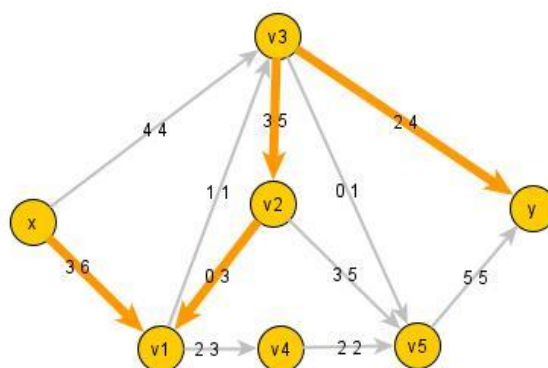


Figura 3

## Algoritmo

O **algoritmo de Ford-Fulkerson** recebe como entrada uma rede de fluxo  $N = N(x, y)$  e um fluxo viável  $f$  em  $N$ . Como saída, retorna um fluxo máximo  $f$  e um corte mínimo  $\partial^+(X)$  em  $N$ ,  $X$  é um conjunto de vértices.

O algoritmo é dividido em duas partes básicas. Na primeira (Linhas 1-5), encontramos uma árvore  $P$  no grafo base da rede onde o vértice raiz é o vértice origem  $x$ . Para compor esta árvore, escolhemos apenas arcos que ainda podem ter seu valor de fluxo incrementado ou decrementado. Na segunda parte (Linhas 6-11), se existir um caminho  $T$  de  $x$  para  $y$  na árvore  $P$ , calculamos o valor de incremento para os fluxos deste caminho e aplicamos conforme visto anteriormente. O fato deste caminho existir, significa que o fluxo atual não é máximo, visto que há um caminho de  $x$  para  $y$  onde arcos podem ainda ter seu valor ajustado a fim de obter um novo fluxo viável e válido e de maior valor. Depois retornamos ao passo 1 para encontrar novas possibilidades de incremento do fluxo. Por fim, o algoritmo retorna o valor atual do fluxo quando  $y$  não estiver incluído na árvore definida na primeira parte (ou seja, o algoritmo não executará a segunda parte).

1	$X := \{x\}; p(v) := \perp, \forall v \in V$
2	<b>Enquanto existir:</b> um arco <b><i>f-não-saturado</i></b> $a := (u, v)$ ou um arco <b><i>f-positivo</i></b> $a := (v, u)$ onde $u \in X$ e $v \in V \setminus X$ <b>faça</b>
3	Substitua $X$ por $X \cup \{v\}$
4	Substitua $p(v)$ por $u$
5	<b>fim enquanto</b>
6	<b>Se</b> $y \in X$ <b>então</b>
7	Compute $\varepsilon(T) := \min\{\varepsilon(a) : a \text{ pertence } A(T)\}$ , onde $T$ é o $xy$ -caminho na árvore cuja função predecessor é $p$
8	Para cada arco <i>avante</i> de $T$ , substitua $f(a)$ por $f(a) + \varepsilon(T)$
9	Para cada arco <i>reverso</i> de $T$ , substitua $f(a)$ por $f(a) - \varepsilon(T)$
10	Retorne para o passo 1
11	<b>fim se</b>
12	retorne $(f, \partial^+(X))$

O algoritmo utiliza 2 variáveis:

- $X$ , o conjunto de vértices adicionados à árvore que é inicializado com o vértice origem da rede que será a raiz da árvore (Linha 1).
- $p$ , é a função predecessor que representa a árvore. Inicialmente o predecessor de todos os vértices da rede é indefinido (Linha 1).

Das Linhas 2 a 5, existe um ciclo repetitivo que será executado enquanto pudermos encontrar os seguintes tipos de arco (Linha 2). Seja  $u \in X$  e  $v \in V \setminus X$ , isto é,  $u$  faz parte da árvore e  $v$  não faz parte da árvore:

- um arco  $(u, v)$  que não é *f-saturado*, ou seja, um arco avante não-saturado que ainda pode ter seu valor incrementado;
- um arco  $(v, u)$  *f-positivo*, ou seja, um arco reverso que ainda pode ter seu valor decrementado.

Escolhemos um destes arcos por vez, adicionamos o vértice  $v$  ao conjunto  $X$  e associamos o predecessor de  $v$  a  $u$  na árvore (Linhas 3 e 4).

Nas linhas 6-11, o algoritmo observa se existe um caminho  $T$  de  $x$  para  $y$  na árvore. Para tal é suficiente observar se o vértice  $y$  pertence ao conjunto de vértices da árvore (por definição toda árvore é um grafo conectado).

Em caso positivo, na Linha 7, o algoritmo calcula  $\varepsilon(T)$ , considerando os arcos que pertencem ao caminho  $T$  de  $x$  para  $y$  na árvore.

No Linha 8, para cada arco avante do caminho  $T$ , o valor do fluxo passa a ser o valor anterior somado a  $\varepsilon(T)$ . Na Linha 9, para cada arco reverso do caminho  $T$ , o valor do fluxo passa a ser o valor anterior subtraído de  $\varepsilon(T)$ . Na Linha 10, há um desvio para a Linha 1 a fim de encontrar novas possibilidades de incremento do fluxo.

Vejamos agora um exemplo de aplicação sobre a rede de fluxos apresentada na Figura 4 (a). Considere que, na primeira parte do algoritmo, escolhemos os seguintes arcos, nesta ordem:  $(x, v1), (v2, v1), (v2, v5), (v3, v2), (v3, y), (v1, v4)$ . Esta escolha pode ser visualizada na Figura 4(b). Como resultado desta escolha, as variáveis  $X$  e  $p$  do algoritmo terão os seguintes valores:  $X = \{x, v1, v2, v5, v3, y, v4\}$  e  $p = \{(x, v1), (v1, v2), (v2, v5), (v2, v3), (v3, y), (v1, v4)\}$ . Note que a função predecessor  $p$  representa o arco  $(v2, v1)$  com outra direção. Isto ocorre porque, na árvore, o predecessor de  $v2$  é  $v1$ . O mesmo ocorre com o arco  $(v3, v2)$ . Ou seja, a árvore expressa uma orientação que parte de  $x$  em direção a  $y$  e é determinada de acordo com a ordem de escolha dos arcos e a inclusão dos vértices. Note que os arcos  $(v2, v1)$  e  $(v3, v2)$ , considerando esta árvore, são reversos. Os demais são avante.

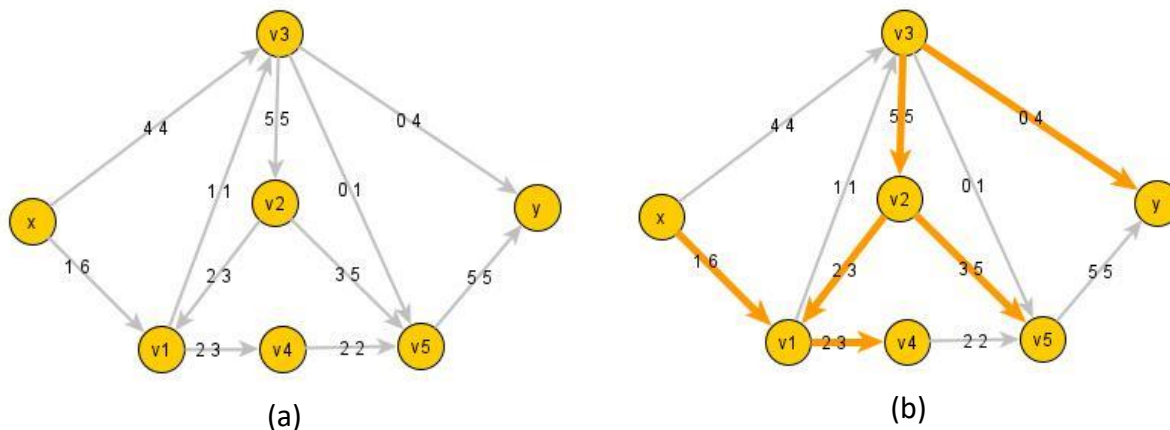


Figura 4

Como todos os vértices já foram incluídos na árvore, a execução do algoritmo procede para a segunda parte que será executada visto que  $y \in X$ . Para tal, o valor mínimo de incremento é calculado considerando o caminho  $T$  que vai de  $x$  para  $y$  na árvore. Este caminho está ilustrado na Figura 2 e, como já vimos anteriormente,  $\varepsilon(T) = 2$ . Assim, aplicando os incrementos aos arcos de  $T$ , obtemos os novos valores de fluxo ilustrados na Figura 3. Após os ajustes nos valores de fluxo, o algoritmo retorna a Linha 1 para identificar uma nova possibilidade de ajuste de valores de fluxo a fim de atingir o fluxo máximo.

Considere que nesta nova execução da primeira parte, escolhemos os seguintes arcos, nesta ordem:  $(x, v1)$ ,  $(v1, v4)$ . Esta escolha está ilustrada na Figura 5 (a). Note que esta seria a única possibilidade de escolha, pois, o arco  $(x, v3)$  é avante saturado, o arco  $(v1, v3)$  é avante saturado e o arco  $(v2, v1)$  é reverso zero. Observe também que não conseguimos escolher mais nenhum outro arco:  $(v4, v5)$  é avante saturado. Não há arcos que atendam aos critérios da condição expressa na Linha 2 do algoritmo considerando  $u$  como um dos vértices  $x, v1, v4$  que estão na árvore. Assim, a primeira parte encerra a sua execução com os seguintes valores para as variáveis  $X$  e  $p$ :  $X = \{x, v1, v4\}$  e  $p = \{(x, v1), (v1, v4)\}$ .

Como  $y$  não pertence a  $X$ , a segunda parte do algoritmo não será executada e este encerra sua execução, retornando o fluxo atual como máximo e o corte mínimo calculado a partir de  $X$ . Este está representado pelos arcos em destaque na Figura 5 (b). O valor do fluxo desta rede é 7 que é exatamente a capacidade dos arcos deste corte mínimo.

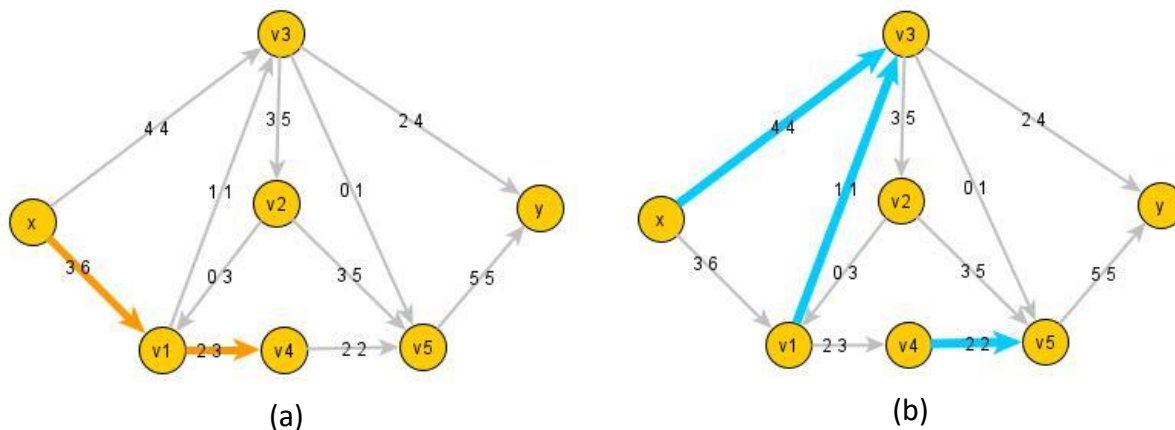
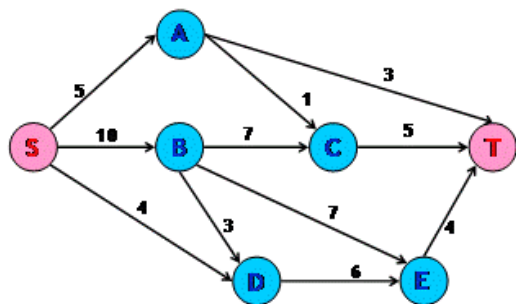


Figura 5

## Exercícios Propostos

1. Usando o algoritmo de Ford-Fulkerson, encontre um fluxo máximo e um corte mínimo na rede de fluxos  $N(S,T)$  abaixo. Qual o valor do fluxo máximo?

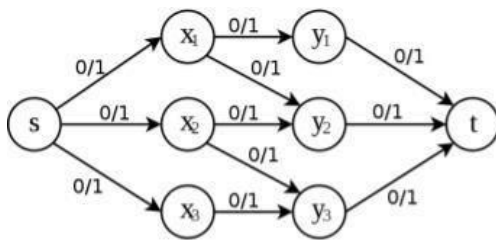


2. Para a rede abaixo, onde as capacidades dos arcos estão definidas pela função  $c$ , e a função fluxo  $f$ , responda.  $N(a,d) = (V(G), A(G))$ ,  $V(G) = \{a,b,c,d\}$ ,  $A(G) = \{(a,b), (a,c), (b,c), (c,d), (b,d)\}$ ,  $c = \{(a,b) \rightarrow 10, (a,c) \rightarrow 10, (b,c) \rightarrow 10, (c,d) \rightarrow 10, (b,d) \rightarrow 10\}$ ,  $f = \{(a,b) \rightarrow 10, (a,c) \rightarrow 0, (b,c) \rightarrow 10, (c,d) \rightarrow 10, (b,d) \rightarrow 0\}$ : a) Aplique um passo completo do algoritmo de Ford-Fulkerson para determinar um novo valor de fluxo para a rede abaixo. Como resposta, apresente a árvore, o valor mínimo de incremento e a nova função fluxo; b) O fluxo determinado na letra a) é máximo? Justifique. c) O conjunto de vértices  $X$  determina o corte mínimo? Justifique.

3. Um agente de viagens deseja alocar congressistas em vôos de São Paulo a Porto Alegre, num mesmo dia. A disponibilidade de lugares nos vôos é dada pela tabela abaixo. Qual é o número máximo de lugares em vôos São Paulo  $\rightarrow$  Porto Alegre neste dia?

S.P. - Porto Alegre	7
S.P. - Curitiba	9
Curitiba - Porto Alegre	4
S.P. - Florianópolis	8
Florianópolis - Porto Alegre	10
Curitiba - Florianópolis	3

4. Encontre um fluxo máximo e um corte mínimo para a rede abaixo usando o algoritmo de Ford-Fulkerson. Qual o valor do fluxo máximo?



## Referências

J. A. Bondy and U. S. R. Murty. Graph Theory. Springer, 2008, 2010. (7.1 e 7.2)